

白山・牛首川の河床波スバクトルと流量との関係

金沢工業大学 正員 中川武夫  
金沢工業大学 学生員 〇村田昌治

1. 緒言

土石流は時と場所を分かつことなく山間部において発生してきたわけではあるが、最近の土地不足を反映して、二つに土石流多発地帯への人口移動に伴って社会的に注目される災害の一つとなった。土石流危険地帯に人が住むようになった間、生命と財産を失った人口の社会的要請の増大に伴って、土石流に関する研究の強力は増進され、その発生・流動・堆積等に関する物理機構を線りに解明するようになった。また、土石流対策に関しても、ソフトとハードの両面から知恵が絞られてきた。

土石流は簡単に、土・砂・礫・軽石といった固体の水とが混合流動混合物が重力によって山腹斜面または谷を流れ落ちた現象に似ている。土石流が降雨をきっかけとして引き起こされた現象である以上、その流動物質の谷における堆積状況に降雨量が何らかの関係をもちいることは当然である。ところが、実際の谷における土石流の流動物質を運ぶための谷の出入出口の水流量である。この意味では、土石流・流動物質の谷における堆積状況は必ずしも流れる水の流量に最も強く支配されると考えられるべきである。

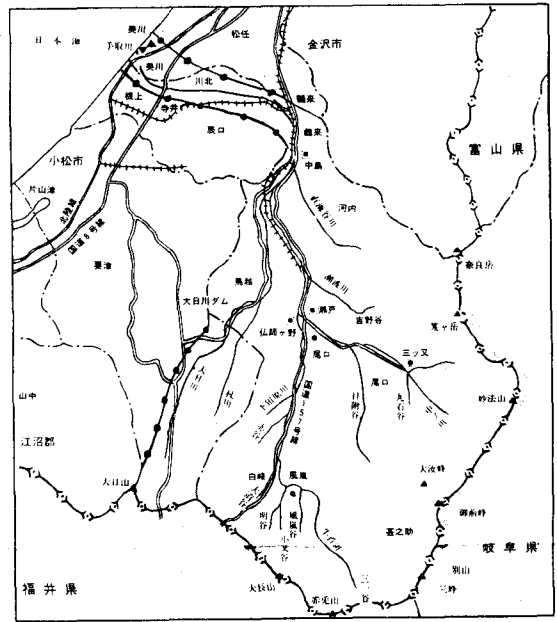
本研究は土石流・流動物質の谷における堆積状況を示す指標の一つとして、この河床波のスバクトルを用い、このスバクトルと流量との関係を求めようとする。

2. 解析

Fig.1に牛取川の流域図を示す。牛取川は白山に源を發し牛首川、尾漆川をその支流に合流し鶴来にいたり、加賀平野を西流し奥川町にて日本海に注ぐ流域面積 809 km<sup>2</sup> 幹川流路延長 72 km の一級河川である。牛取川上流部は河口から約 34 km の岩野谷に、牛首川の尾漆川の二つの流域に大別される。

この解析の対象とした牛首川は白山の南面に発する釜元谷と別当谷が合流し、さらに赤谷、岩屋保谷、湯谷、三ッ谷川等が合流して、岩野谷付近で尾漆川に合流する流域面積 255 km<sup>2</sup>、幹川流路延長 38 km の河川である。

白山周辺の地層岩類は基岩と成る二つの花崗片麻岩と、これに不整合におおる中生代の牛取統及び第三紀層等の岩水であり、最上部には白



1:400,000  
Fig.1 牛取川流域図

山火山の噴出物として熔岩角礫岩及び凝灰岩等が白山を中心として次第に厚さを減じながら分布している。牛首川の河床勾配は 1/150-1/80 程度で、火山活動によって地層の風化が著しくなっている。この流域内各所に大規模な崩壊地が生じている。河床濃のスベクトル解析に牛首川最上流の急流体出口の間、200 m 間隔で測定した最深河床高のデータを用いた。これを最大エントロピー法によりスベクトル解析を行った。

3. 結果

Fig.2 に昭和38年と昭和42年間に牛取川仏師ヶ野において測定された年別の月平均流量と最大流量を示す。この間の降水量の経年変化の傾向が類似していることがわかる。Fig.3 に昭和48年及び昭和49年における牛首川・最深河床高のスベクトル解析の結果を示す。これら二つのスベクトル形状を比較すると、昭和49年のスベクトル高波数成分が、前年(昭和48年)のものより減少していることが認められる。これは、流量が増え、Fig.2 が示明しているように昭和48年と昭和49年における急増していること、結果、流量が増加するとスベクトル高波数成分が減少するようになった。つまり、流量が増加すると波長の短い河床濃が減少し、河床が平滑化されたことである。逆に、流量が減少すると波長の長い河床濃が増加し、河床の起伏が激しくなったことが伺える。

なお、これは詳細な都合で昭和48年及び昭和49年のスベクトル結果のみを示したが、その他の年度における最深河床高のスベクトル形状と流量との対応関係も上記同様である。

最後に、量産流量及び最深河床高のデータを提供された建設省土木研究所に厚くお礼申し上げます。

4. 参考文献

- (1) Bagnold, R.A.: Experiments on a gravity-free dispersion of large solid spheres in a Newtonian fluid under shear. Proc. Roy. Soc. London, A, 49-63, 1954.
- (2) Lawson, D.E.: Mobilization, movement and deposition of active subaerial sediment flows, Matanuska glacier, Alaska, J. of Geology, 90, 279-300, 1982.
- (3) 高橋保 1977 土石流の発生と流動に関する研究、京都大学防災研究所年報、第20号B、405-435。
- (4) 椿東一郎・橋本晴行・末次忠司 1982 土石流における粒子間相互作用特性、土木学会論文報告集、317、79-91。
- (5) 飯野浩・奥田節夫 1982 岐阜県上ヶ原沢扇状地における土石流の堆積構造、京都大学防災研究所年報、第25号B1、307-321。
- (6) 芦田和男・高橋保 1980 土石流の調節制御に関する研究-立体格子型砂防壁の氷理機能、京都大学防災研究所年報第23号B2、2-17。
- (7) 芦田和男・高橋保・新井隆二 1981 土石流の調節制御に関する研究(2)-流路弯曲部における土石流の流動、京都大学防災研究所年報、第24号、B-2。
- (8) 芦田和男・高橋保・澤井健二 1978 土石流危険度の評価法に関する研究、京都大学防災研究所年報、第21号、B-2。
- (9) 瀬尾英美・船崎昌 1973 土石砂害と降雨量について、新砂防 89。

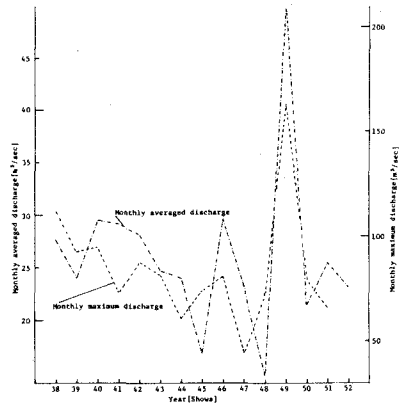


Fig.2 牛取川水系牛取川仏師ヶ野年別月流量図

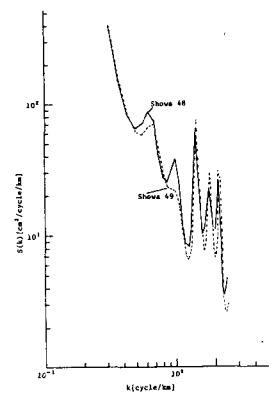


Fig.3: Spectra of bed form in the Ushikubi river